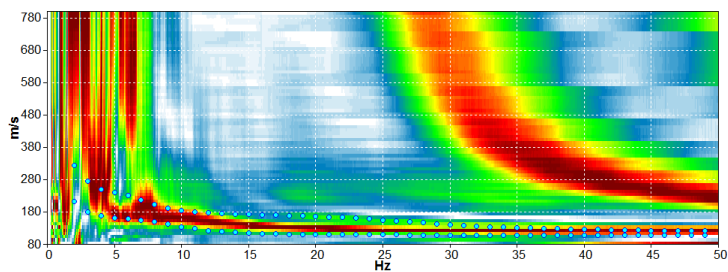


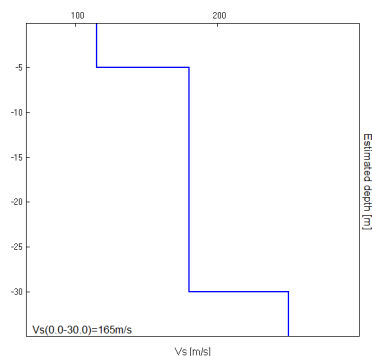
SCHEDE DELLE INDAGINI

MISURA IN ARRAY DI TIPO RE.MI.

| | |
|--|----------|
| Progressivo | A1 |
| Latitudine WGS84 - 33N (inizio stesa) | 4947658° |
| Longitudine WGS84 - 33N (inizio stesa) | 200884° |
| Latitudine WGS84 - 33N (fine stesa) | 4947629° |
| Longitudine WGS84 - 33N (fine stesa) | 200856° |
| Quota p.c. s.l.m. | 19 m |
| Anno di misura | 2014 |



Modelled rayleigh wave phase velocity



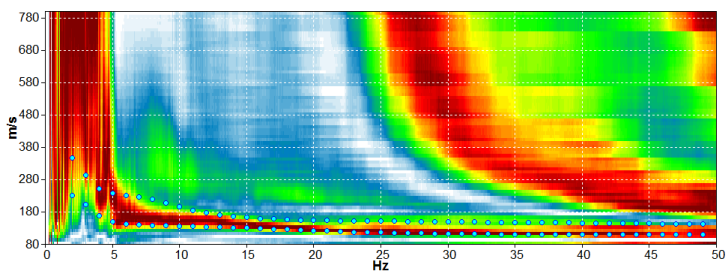
Profilo Vs



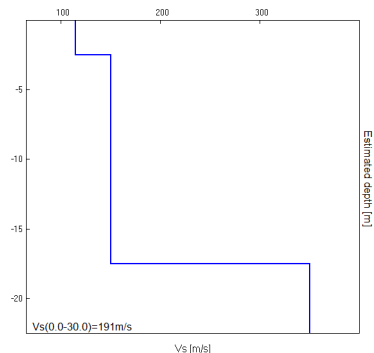
Ubicazione

MISURA IN ARRAY DI TIPO RE.MI.

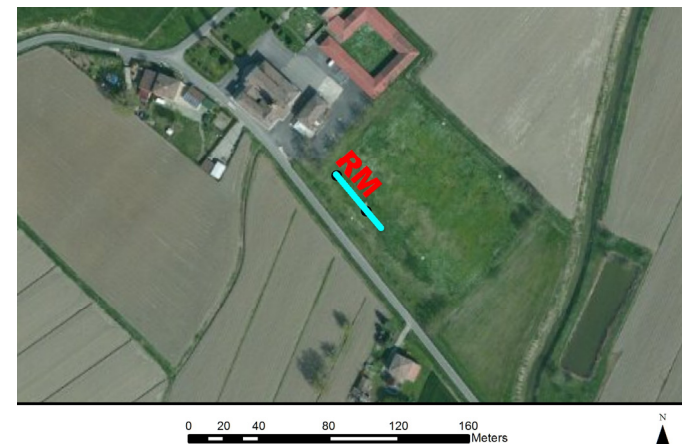
| | |
|--|----------|
| Progressivo | A2 |
| Latitudine WGS84 - 33N (inizio stesa) | 4950243° |
| Longitudine WGS84 - 33N (inizio stesa) | 201013° |
| Latitudine WGS84 - 33N (fine stesa) | 4950213° |
| Longitudine WGS84 - 33N (fine stesa) | 201038° |
| Quota p.c. s.l.m. | 17 m |
| Anno di misura | 2014 |



Modelled rayleigh wave phase velocity



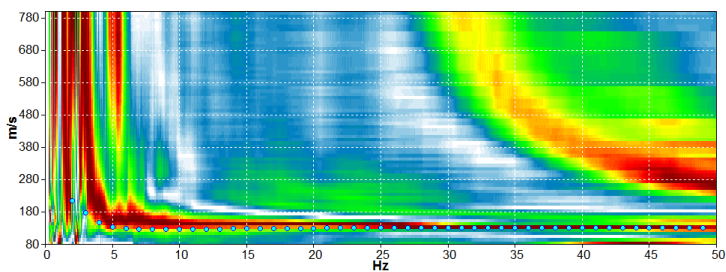
Profilo Vs



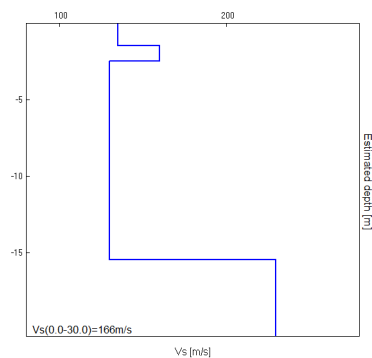
Ubicazione

MISURA IN ARRAY DI TIPO RE.MI.

| | |
|--|----------|
| Progressivo | A3 |
| Latitudine WGS84 - 33N (inizio stesa) | 4950729° |
| Longitudine WGS84 - 33N (inizio stesa) | 197967° |
| Latitudine WGS84 - 33N (fine stesa) | 4950764° |
| Longitudine WGS84 - 33N (fine stesa) | 197985° |
| Quota p.c. s.l.m. | 17 m |
| Anno di misura | 2014 |



Modelled rayleigh wave phase velocity



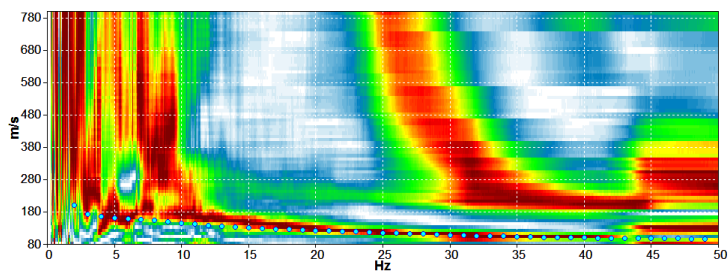
Profilo Vs



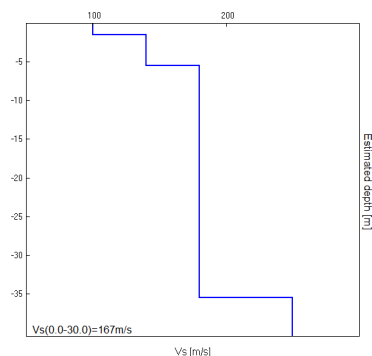
Ubicazione

MISURA IN ARRAY DI TIPO RE.MI.

| | |
|--|----------|
| Progressivo | A4 |
| Latitudine WGS84 - 33N (inizio stesa) | 4949397° |
| Longitudine WGS84 - 33N (inizio stesa) | 196872° |
| Latitudine WGS84 - 33N (fine stesa) | 4949379° |
| Longitudine WGS84 - 33N (fine stesa) | 196908° |
| Quota p.c. s.l.m. | 25 m |
| Anno di misura | 2014 |



Modelled rayleigh wave phase velocity



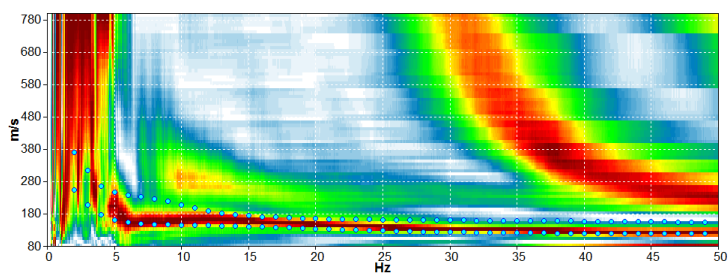
Profilo Vs



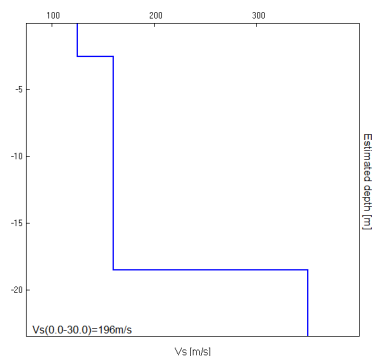
Ubicazione

MISURA IN ARRAY DI TIPO RE.MI.

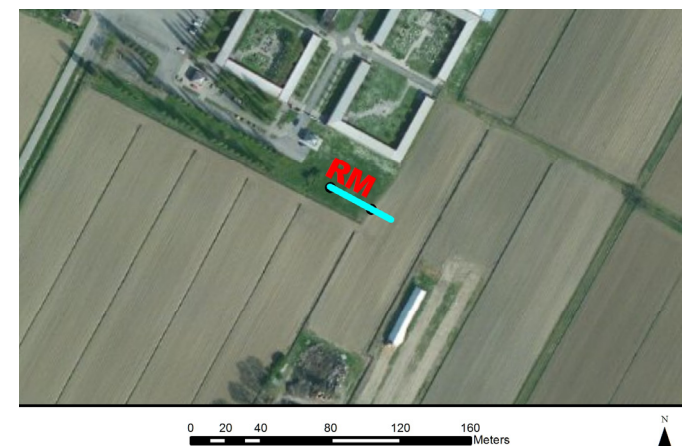
| | |
|--|----------|
| Progressivo | A5 |
| Latitudine WGS84 - 33N (inizio stesa) | 4952077° |
| Longitudine WGS84 - 33N (inizio stesa) | 195919° |
| Latitudine WGS84 - 33N (fine stesa) | 4952058° |
| Longitudine WGS84 - 33N (fine stesa) | 195955° |
| Quota p.c. s.l.m. | 16 m |
| Anno di misura | 2014 |



Modelled rayleigh wave phase velocity



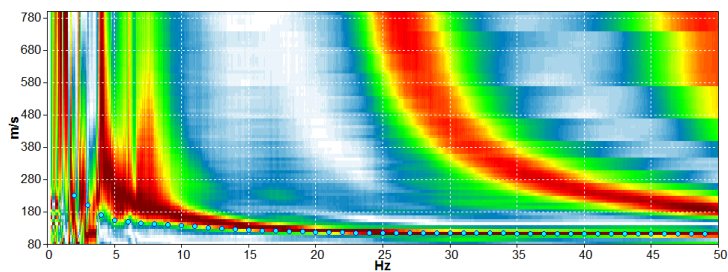
Profilo Vs



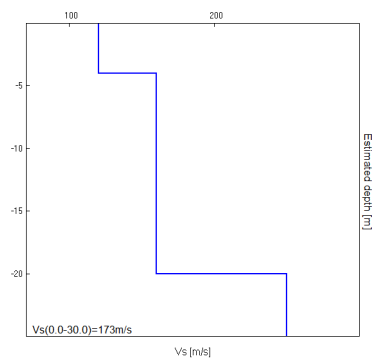
Ubicazione

MISURA IN ARRAY DI TIPO RE.MI.

| | |
|--|----------|
| Progressivo | A6 |
| Latitudine WGS84 - 33N (inizio stesa) | 4946573° |
| Longitudine WGS84 - 33N (inizio stesa) | 197388° |
| Latitudine WGS84 - 33N (fine stesa) | 4946558° |
| Longitudine WGS84 - 33N (fine stesa) | 197425° |
| Quota p.c. s.l.m. | 25 m |
| Anno di misura | 2014 |



Modelled rayleigh wave phase velocity



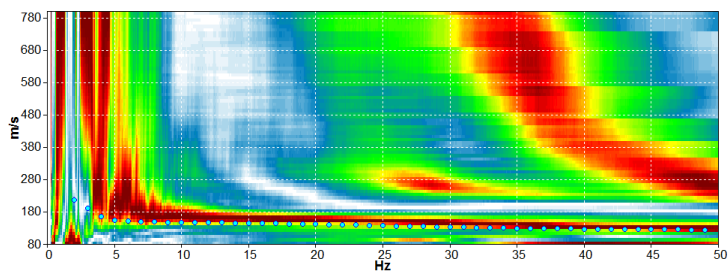
Profilo Vs



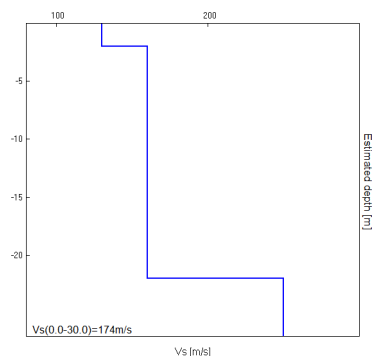
Ubicazione

MISURA IN ARRAY DI TIPO RE.MI.

| | |
|--|----------|
| Progressivo | A7 |
| Latitudine WGS84 - 33N (inizio stesa) | 4943196° |
| Longitudine WGS84 - 33N (inizio stesa) | 196076° |
| Latitudine WGS84 - 33N (fine stesa) | 4943231° |
| Longitudine WGS84 - 33N (fine stesa) | 196095° |
| Quota p.c. s.l.m. | 34 m |
| Anno di misura | 2014 |



Modelled rayleigh wave phase velocity



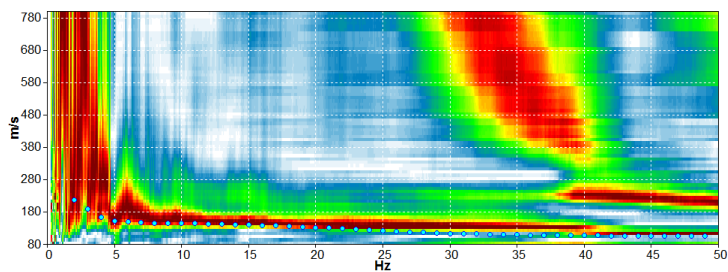
Profilo Vs



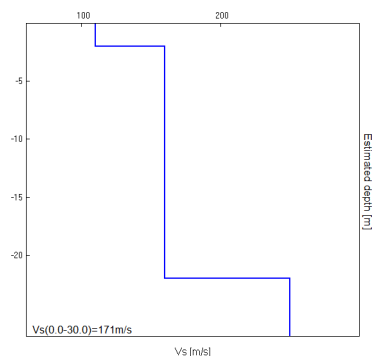
Ubicazione

MISURA IN ARRAY DI TIPO RE.MI.

| | |
|--|----------|
| Progressivo | A8 |
| Latitudine WGS84 - 33N (inizio stesa) | 4946150° |
| Longitudine WGS84 - 33N (inizio stesa) | 195211° |
| Latitudine WGS84 - 33N (fine stesa) | 4946128° |
| Longitudine WGS84 - 33N (fine stesa) | 195243° |
| Quota p.c. s.l.m. | 28 m |
| Anno di misura | 2014 |



Modelled rayleigh wave phase velocity



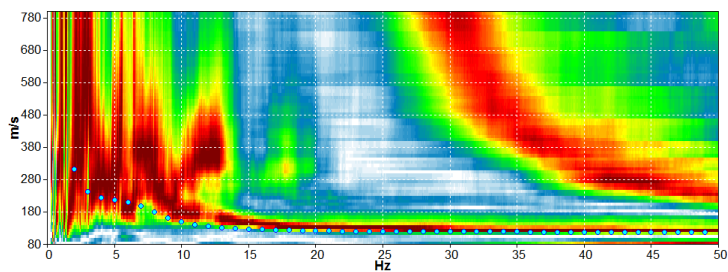
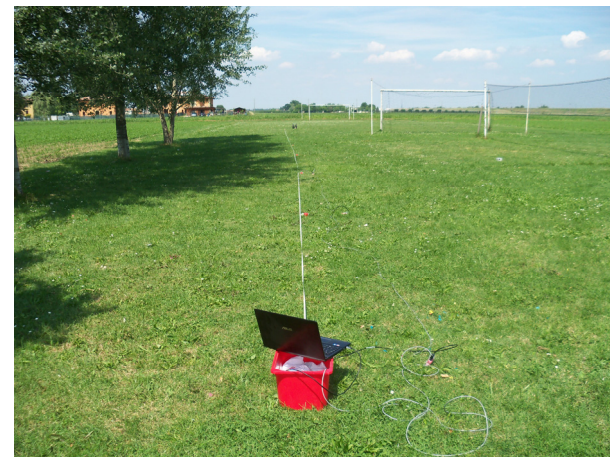
Profilo Vs



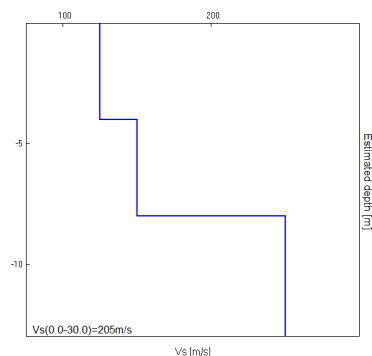
Ubicazione

MISURA IN ARRAY DI TIPO RE.MI.

| | |
|--|----------|
| Progressivo | A9 |
| Latitudine WGS84 - 33N (inizio stesa) | 4944555° |
| Longitudine WGS84 - 33N (inizio stesa) | 197108° |
| Latitudine WGS84 - 33N (fine stesa) | 4944590° |
| Longitudine WGS84 - 33N (fine stesa) | 197127° |
| Quota p.c. s.l.m. | 29 m |
| Anno di misura | 2014 |



Modelled rayleigh wave phase velocity



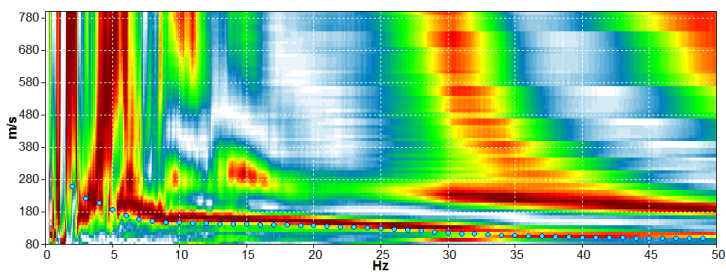
Profilo Vs



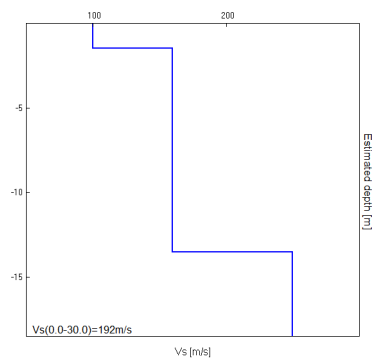
Ubicazione

MISURA IN ARRAY DI TIPO RE.MI.

| | |
|--|----------|
| Progressivo | A10 |
| Latitudine WGS84 - 33N (inizio stesa) | 4950225° |
| Longitudine WGS84 - 33N (inizio stesa) | 196942° |
| Latitudine WGS84 - 33N (fine stesa) | 4950262° |
| Longitudine WGS84 - 33N (fine stesa) | 196959° |
| Quota p.c. s.l.m. | 25 m |
| Anno di misura | 2014 |



Modelled rayleigh wave phase velocity



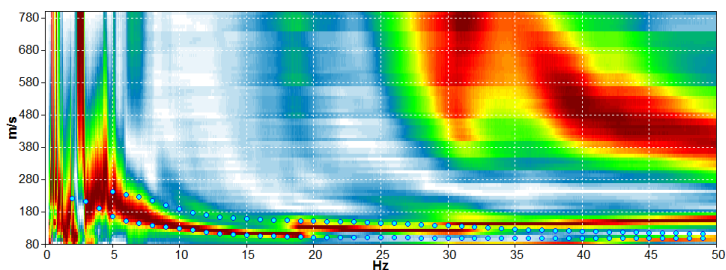
Profilo Vs



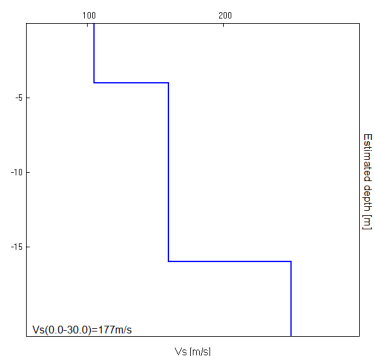
Ubicazione

MISURA IN ARRAY DI TIPO RE.MI.

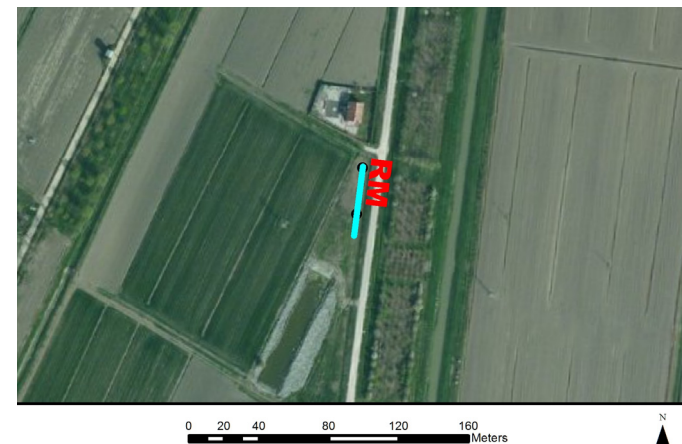
| | |
|--|----------|
| Progressivo | A11 |
| Latitudine WGS84 - 33N (inizio stesa) | 4957196° |
| Longitudine WGS84 - 33N (inizio stesa) | 199183° |
| Latitudine WGS84 - 33N (fine stesa) | 4957157° |
| Longitudine WGS84 - 33N (fine stesa) | 199178° |
| Quota p.c. s.l.m. | 13 m |
| Anno di misura | 2014 |



Modelled rayleigh wave phase velocity



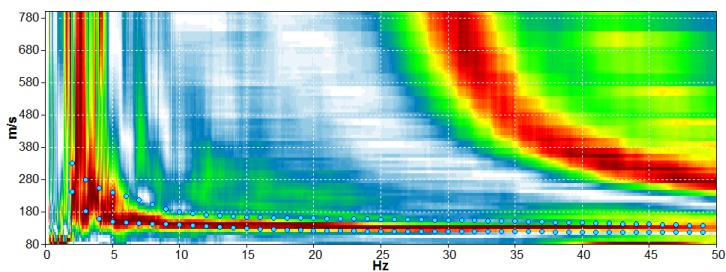
Profilo Vs



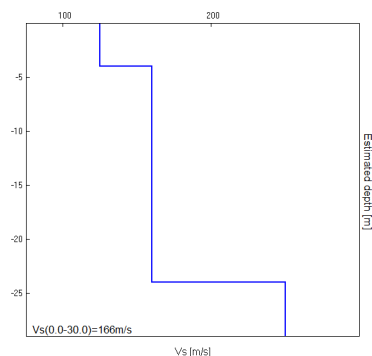
Ubicazione

MISURA IN ARRAY DI TIPO RE.MI.

| | |
|--|----------|
| Progressivo | A12 |
| Latitudine WGS84 - 33N (inizio stesa) | 4956547° |
| Longitudine WGS84 - 33N (inizio stesa) | 203284° |
| Latitudine WGS84 - 33N (fine stesa) | 4956582° |
| Longitudine WGS84 - 33N (fine stesa) | 203304° |
| Quota p.c. s.l.m. | 18 m |
| Anno di misura | 2014 |



Modelled rayleigh wave phase velocity



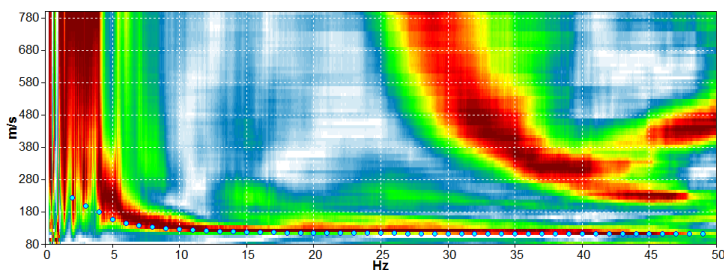
Profilo Vs



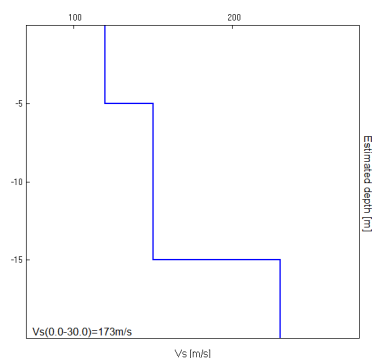
Ubicazione

MISURA IN ARRAY DI TIPO RE.MI.

| | |
|--|----------|
| Progressivo | A13 |
| Latitudine WGS84 - 33N (inizio stesa) | 4953945° |
| Longitudine WGS84 - 33N (inizio stesa) | 201427° |
| Latitudine WGS84 - 33N (fine stesa) | 4953979° |
| Longitudine WGS84 - 33N (fine stesa) | 201448° |
| Quota p.c. s.l.m. | 15 m |
| Anno di misura | 2014 |



Modelled rayleigh wave phase velocity



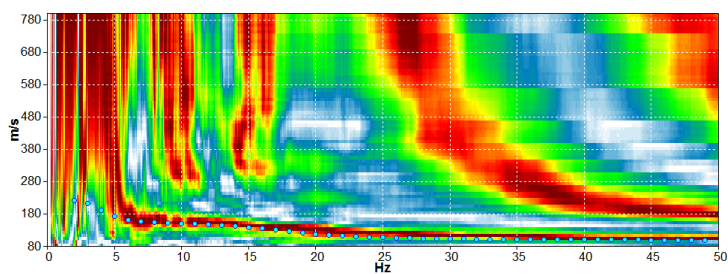
Profilo Vs



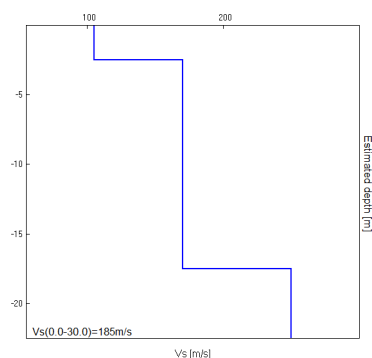
Ubicazione

MISURA IN ARRAY DI TIPO RE.MI.

| | |
|--|----------|
| Progressivo | A14 |
| Latitudine WGS84 - 33N (inizio stesa) | 4951409° |
| Longitudine WGS84 - 33N (inizio stesa) | 201746° |
| Latitudine WGS84 - 33N (fine stesa) | 4951394° |
| Longitudine WGS84 - 33N (fine stesa) | 201783° |
| Quota p.c. s.l.m. | 19 m |
| Anno di misura | 2014 |



Modelled rayleigh wave phase velocity



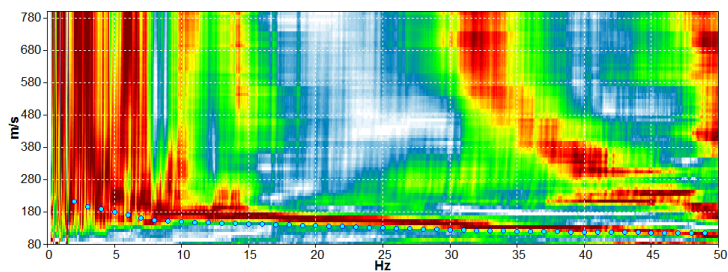
Profilo Vs



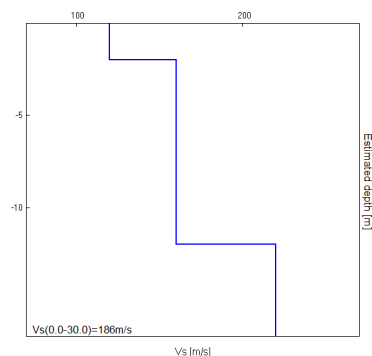
Ubicazione

MISURA IN ARRAY DI TIPO RE.MI.

| | |
|--|----------|
| Progressivo | A15 |
| Latitudine WGS84 - 33N (inizio stesa) | 4950735° |
| Longitudine WGS84 - 33N (inizio stesa) | 196673° |
| Latitudine WGS84 - 33N (fine stesa) | 4950718° |
| Longitudine WGS84 - 33N (fine stesa) | 196709° |
| Quota p.c. s.l.m. | 23 m |
| Anno di misura | 2014 |



Modelled rayleigh wave phase velocity



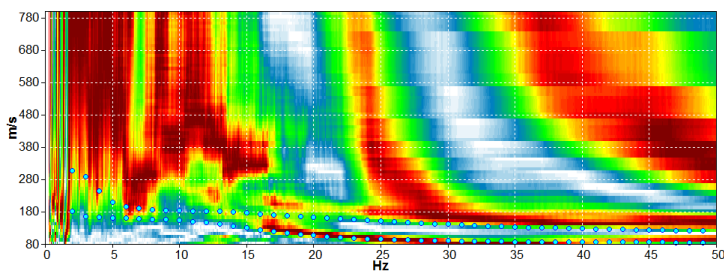
Profilo Vs



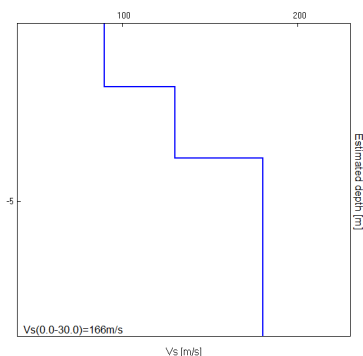
Ubicazione

MISURA IN ARRAY DI TIPO RE.MI.

| | |
|--|----------|
| Progressivo | A16 |
| Latitudine WGS84 - 33N (inizio stesa) | 4949576° |
| Longitudine WGS84 - 33N (inizio stesa) | 197437° |
| Latitudine WGS84 - 33N (fine stesa) | 4949542° |
| Longitudine WGS84 - 33N (fine stesa) | 197415° |
| Quota p.c. s.l.m. | 25 m |
| Anno di misura | 2014 |



Modelled rayleigh wave phase velocity



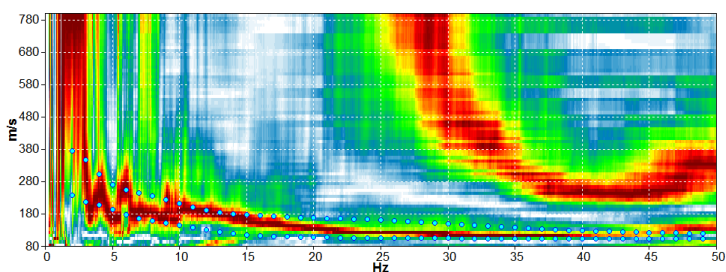
Profilo Vs



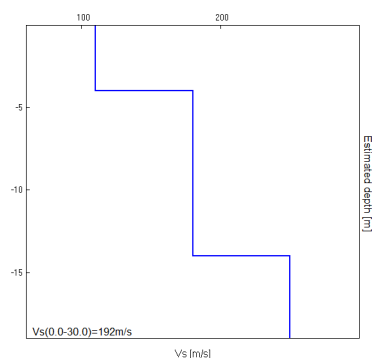
Ubicazione

MISURA IN ARRAY DI TIPO RE.MI.

| | |
|--|----------|
| Progressivo | A17 |
| Latitudine WGS84 – 33N (inizio stesa) | 4948275° |
| Longitudine WGS84 – 33N (inizio stesa) | 198493° |
| Latitudine WGS84 – 33N (fine stesa) | 4948240° |
| Longitudine WGS84 – 33N (fine stesa) | 198473° |
| Quota p.c. s.l.m. | 23 m |
| Anno di misura | 2014 |



Modelled rayleigh wave phase velocity



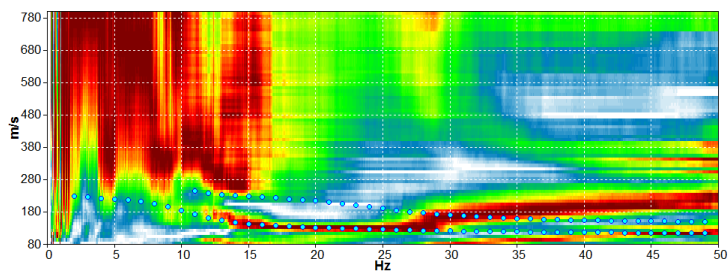
Profilo Vs



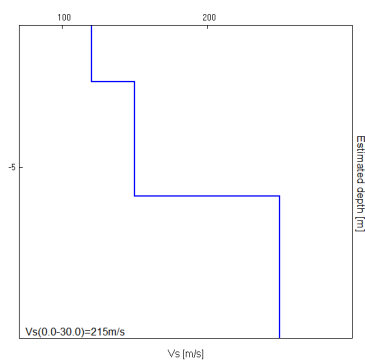
Ubicazione

MISURA IN ARRAY DI TIPO RE.MI.

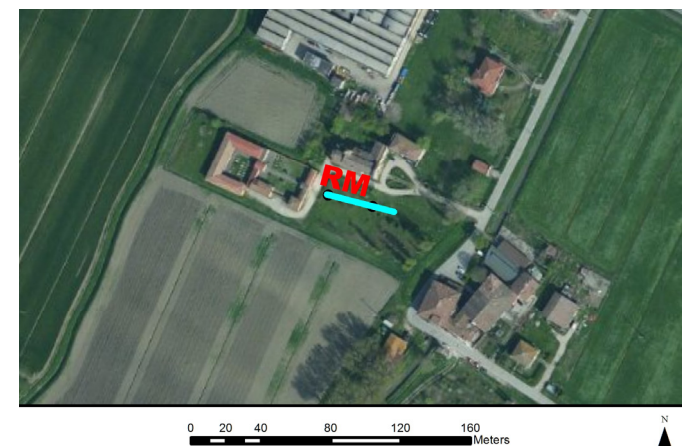
| | |
|--|----------|
| Progressivo | A18 |
| Latitudine WGS84 - 33N (inizio stesa) | 4947850° |
| Longitudine WGS84 - 33N (inizio stesa) | 193750° |
| Latitudine WGS84 - 33N (fine stesa) | 4947840° |
| Longitudine WGS84 - 33N (fine stesa) | 193789° |
| Quota p.c. s.l.m. | 26 m |
| Anno di misura | 2014 |



Modelled rayleigh wave phase velocity



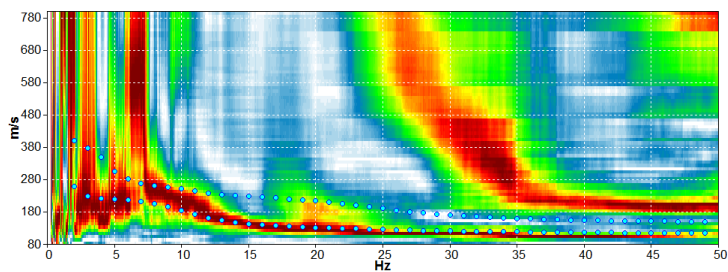
Profilo Vs



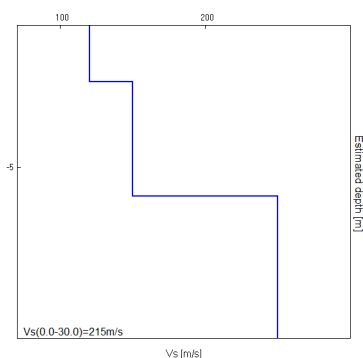
Ubicazione

MISURA IN ARRAY DI TIPO RE.MI.

| | |
|--|----------|
| Progressivo | A19 |
| Latitudine WGS84 - 33N (inizio stesa) | 4954402° |
| Longitudine WGS84 - 33N (inizio stesa) | 198417° |
| Latitudine WGS84 - 33N (fine stesa) | 4954437° |
| Longitudine WGS84 - 33N (fine stesa) | 198436° |
| Quota p.c. s.l.m. | 14 m |
| Anno di misura | 2014 |



Modelled rayleigh wave phase velocity



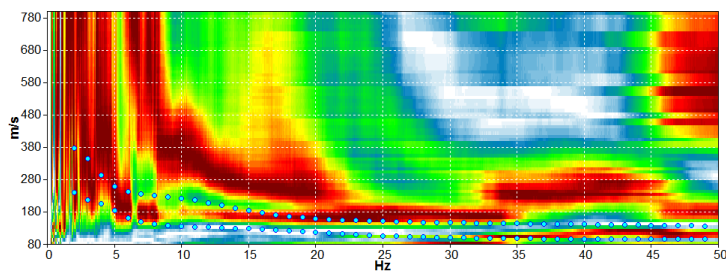
Profilo Vs



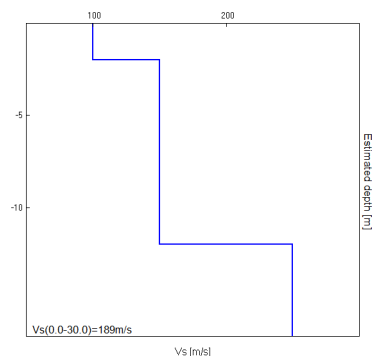
Ubicazione

MISURA IN ARRAY DI TIPO RE.MI.

| | |
|--|----------|
| Progressivo | A20 |
| Latitudine WGS84 - 33N (inizio stesa) | 4948851° |
| Longitudine WGS84 - 33N (inizio stesa) | 197893° |
| Latitudine WGS84 - 33N (fine stesa) | 4948886° |
| Longitudine WGS84 - 33N (fine stesa) | 197912° |
| Quota p.c. s.l.m. | 22 m |
| Anno di misura | 2014 |



Modelled rayleigh wave phase velocity



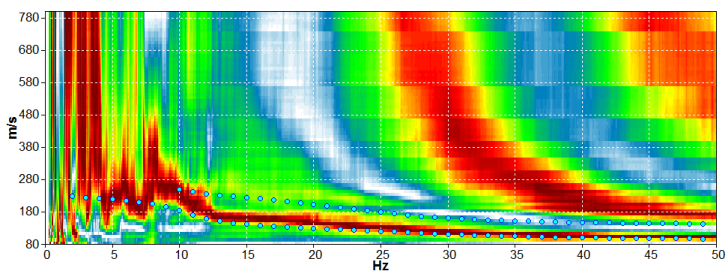
Profilo Vs



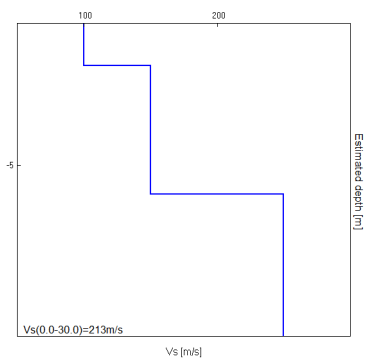
Ubicazione

MISURA IN ARRAY DI TIPO RE.MI.

| | |
|--|----------|
| Progressivo | A21 |
| Latitudine WGS84 - 33N (inizio stesa) | 4948645° |
| Longitudine WGS84 - 33N (inizio stesa) | 196571° |
| Latitudine WGS84 - 33N (fine stesa) | 4948627° |
| Longitudine WGS84 - 33N (fine stesa) | 196607° |
| Quota p.c. s.l.m. | 22 m |
| Anno di misura | 2014 |



Modelled rayleigh wave phase velocity



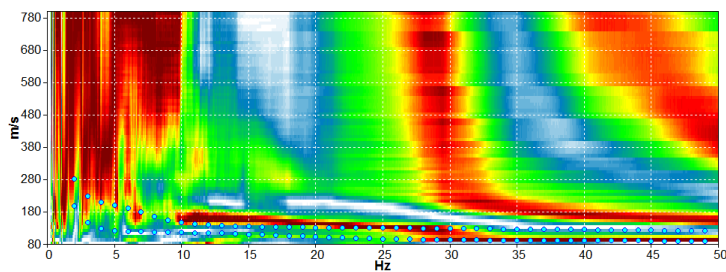
Profilo Vs



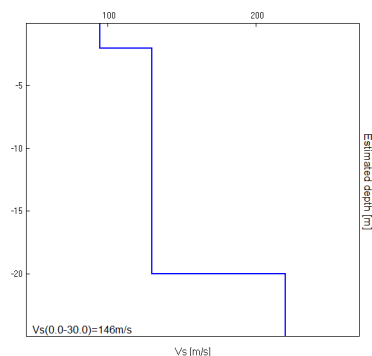
Ubicazione

MISURA IN ARRAY DI TIPO RE.MI.

| | |
|--|----------|
| Progressivo | A22 |
| Latitudine WGS84 - 33N (inizio stesa) | 4949599° |
| Longitudine WGS84 - 33N (inizio stesa) | 195826° |
| Latitudine WGS84 - 33N (fine stesa) | 4949583° |
| Longitudine WGS84 - 33N (fine stesa) | 195863° |
| Quota p.c. s.l.m. | 21 m |
| Anno di misura | 2014 |



Modelled rayleigh wave phase velocity



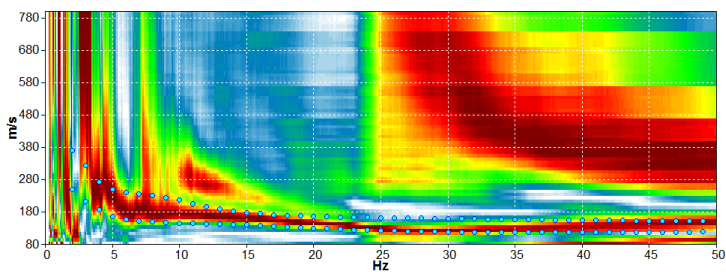
Profilo Vs



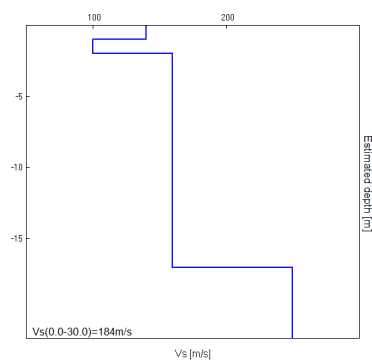
Ubicazione

MISURA IN ARRAY DI TIPO RE.MI.

| | |
|--|----------|
| Progressivo | A23 |
| Latitudine WGS84 - 33N (inizio stesa) | 4949199° |
| Longitudine WGS84 - 33N (inizio stesa) | 194608° |
| Latitudine WGS84 - 33N (fine stesa) | 4949163° |
| Longitudine WGS84 - 33N (fine stesa) | 194591° |
| Quota p.c. s.l.m. | 23 m |
| Anno di misura | 2014 |



Modelled rayleigh wave phase velocity



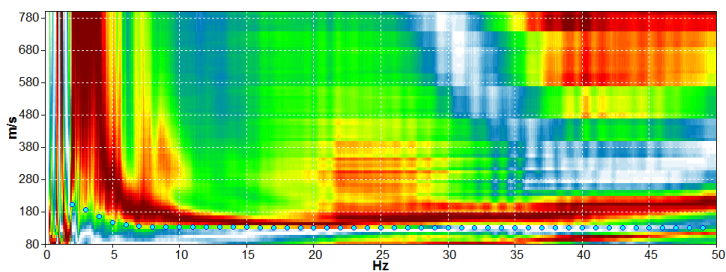
Profilo Vs



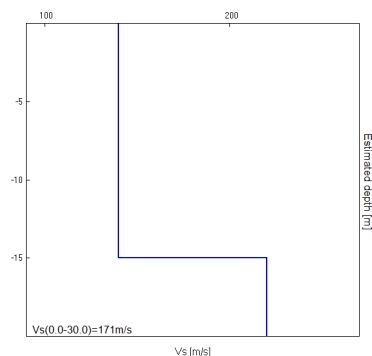
Ubicazione

MISURA IN ARRAY DI TIPO RE.MI.

| | |
|--|----------|
| Progressivo | A24 |
| Latitudine WGS84 - 33N (inizio stesa) | 4944551° |
| Longitudine WGS84 - 33N (inizio stesa) | 196812° |
| Latitudine WGS84 - 33N (fine stesa) | 4944572° |
| Longitudine WGS84 - 33N (fine stesa) | 196778° |
| Quota p.c. s.l.m. | 31 m |
| Anno di misura | 2014 |



Modelled rayleigh wave phase velocity



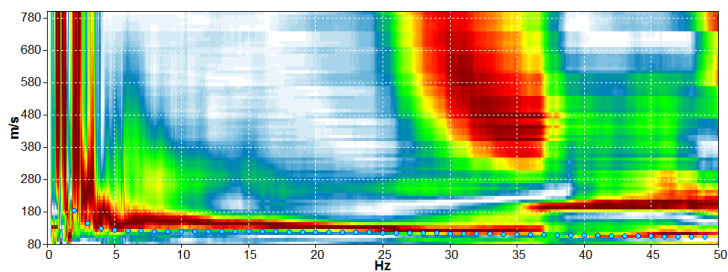
Profilo Vs



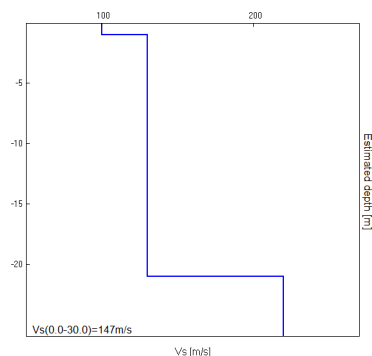
Ubicazione

MISURA IN ARRAY DI TIPO RE.MI.

| | |
|--|----------|
| Progressivo | A25 |
| Latitudine WGS84 - 33N (inizio stesa) | 4952860° |
| Longitudine WGS84 - 33N (inizio stesa) | 196534° |
| Latitudine WGS84 - 33N (fine stesa) | 4952827° |
| Longitudine WGS84 - 33N (fine stesa) | 196555° |
| Quota p.c. s.l.m. | 15 m |
| Anno di misura | 2014 |



Modelled rayleigh wave phase velocity



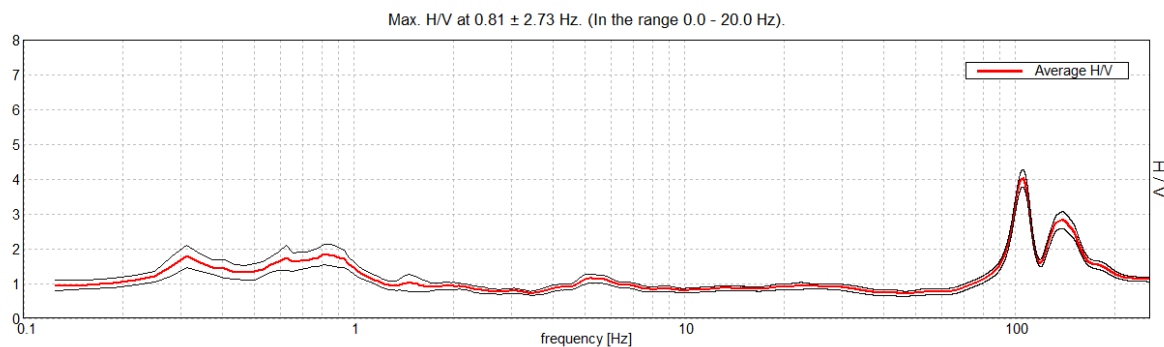
Profilo Vs



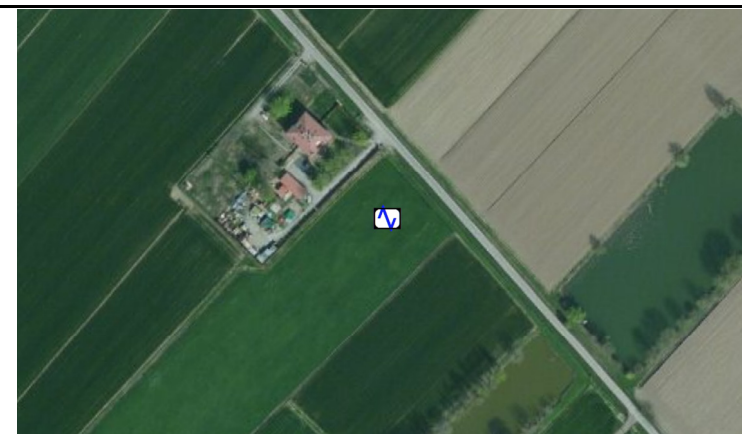
Ubicazione

MISURA SISMICA H.V.S.R.

| | |
|--|----------|
| Progressivo | T1 |
| Latitudine WGS84 - 33N | 4947641° |
| Longitudine WGS84 - 33N | 200887° |
| Quota p.c. s.l.m. | 19 m |
| Frequenza di risonanza tra 0,1 e 20,0 Hz | 0.81 Hz |
| Condizione di amplificazione tra 0,1 e 20,0 Hz | si |
| Anno di misura | 2014 |
| Presenza di artefatti | no |



Andamento della curva H/V



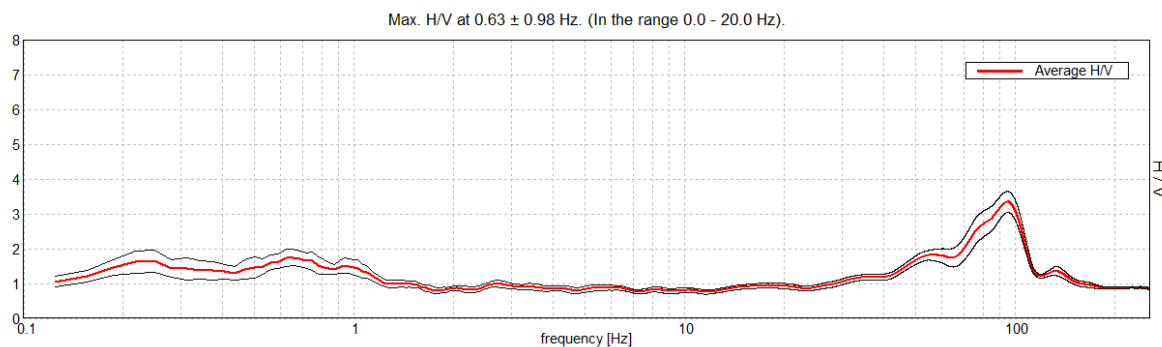
0 20 40 80 120 160 Meters



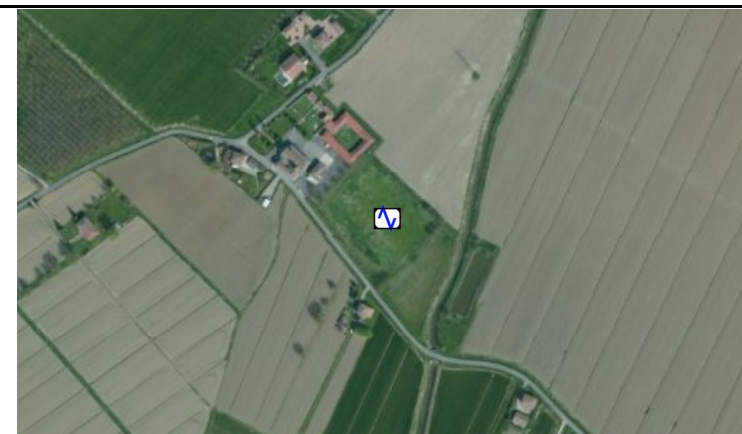
Ubicazione

MISURA SISMICA H.V.S.R.

| | |
|--|----------|
| Progressivo | T2 |
| Latitudine WGS84 - 33N | 4950230° |
| Longitudine WGS84 - 33N | 201074° |
| Quota p.c. s.l.m. | 17 m |
| Frequenza di risonanza tra 0,1 e 20,0 Hz | 0.63 Hz |
| Condizione di amplificazione tra 0,1 e 20,0 Hz | si |
| Anno di misura | 2014 |
| Presenza di artefatti | no |



Andamento della curva H/V



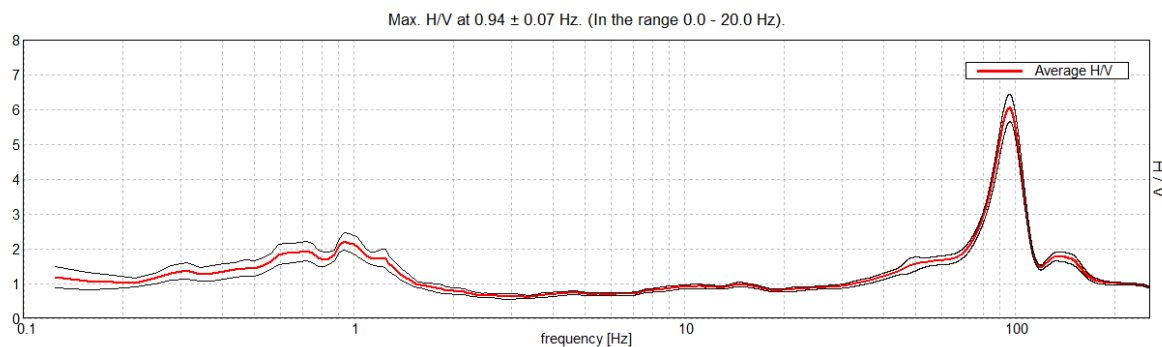
0 45 90 180 270 360 Meters



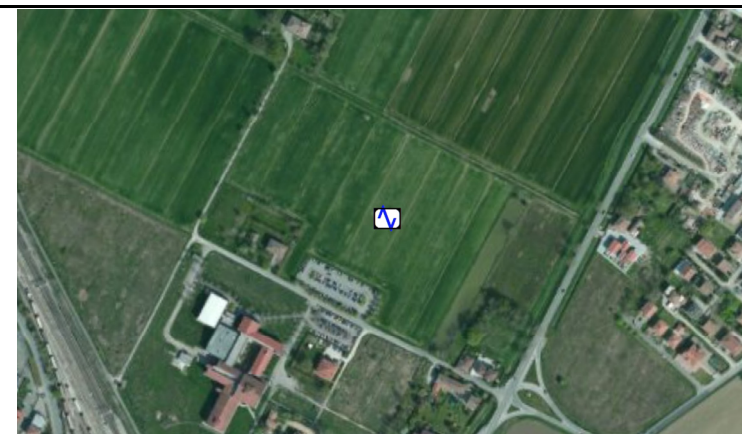
Ubicazione

MISURA SISMICA H.V.S.R.

| | |
|--|----------|
| Progressivo | T3 |
| Latitudine WGS84 - 33N | 4950767° |
| Longitudine WGS84 - 33N | 198026° |
| Quota p.c. s.l.m. | 17 m |
| Frequenza di risonanza tra 0,1 e 20,0 Hz | 0.94 Hz |
| Condizione di amplificazione tra 0,1 e 20,0 Hz | si |
| Anno di misura | 2014 |
| Presenza di artefatti | no |



Andamento della curva H/V



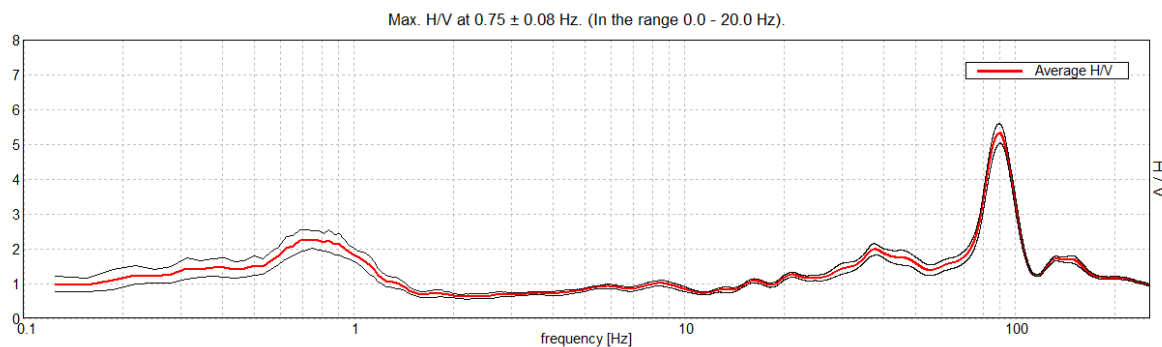
0 45 90 180 270 360 Meters



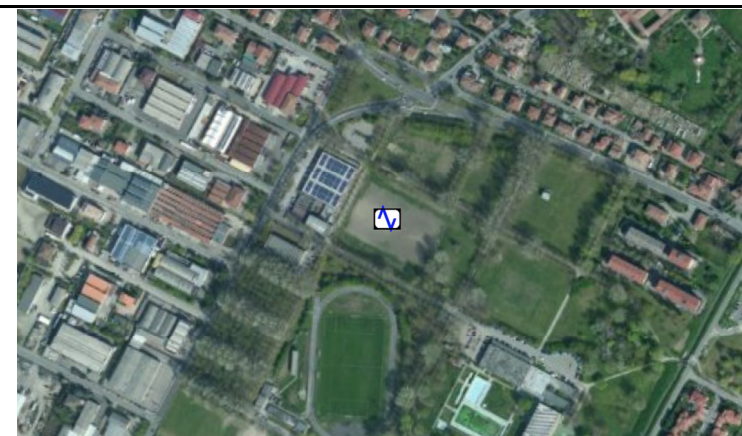
Ubicazione

MISURA SISMICA H.V.S.R.

| | |
|--|----------|
| Progressivo | T4 |
| Latitudine WGS84 - 33N | 4949406° |
| Longitudine WGS84 - 33N | 196906° |
| Quota p.c. s.l.m. | 25 m |
| Frequenza di risonanza tra 0,1 e 20,0 Hz | 0.75 Hz |
| Condizione di amplificazione tra 0,1 e 20,0 Hz | si |
| Anno di misura | 2014 |
| Presenza di artefatti | no |



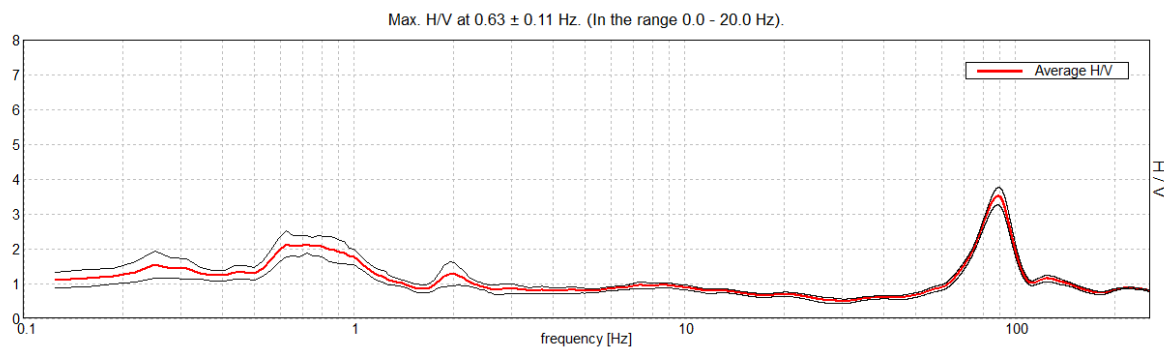
Andamento della curva H/V



Ubicazione

MISURA SISMICA H.V.S.R.

| | |
|--|----------|
| Progressivo | T5 |
| Latitudine WGS84 - 33N | 4952085° |
| Longitudine WGS84 - 33N | 195941° |
| Quota p.c. s.l.m. | 16 m |
| Frequenza di risonanza tra 0,1 e 20,0 Hz | 0.63 Hz |
| Condizione di amplificazione tra 0,1 e 20,0 Hz | si |
| Anno di misura | 2014 |
| Presenza di artefatti | no |



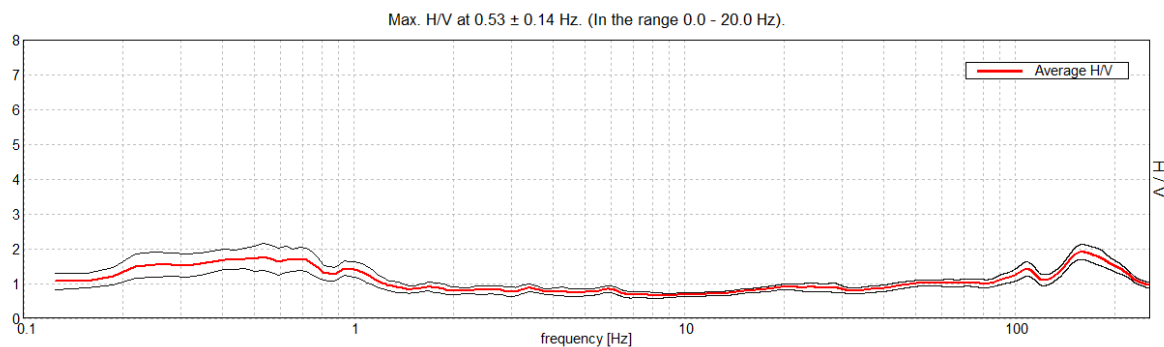
Andamento della curva H/V



Ubicazione

MISURA SISMICA H.V.S.R.

| | |
|--|----------|
| Progressivo | T6 |
| Latitudine WGS84 - 33N | 4946576° |
| Longitudine WGS84 - 33N | 197421° |
| Quota p.c. s.l.m. | 25 m |
| Frequenza di risonanza tra 0,1 e 20,0 Hz | 0.53 Hz |
| Condizione di amplificazione tra 0,1 e 20,0 Hz | si |
| Anno di misura | 2014 |
| Presenza di artefatti | no |



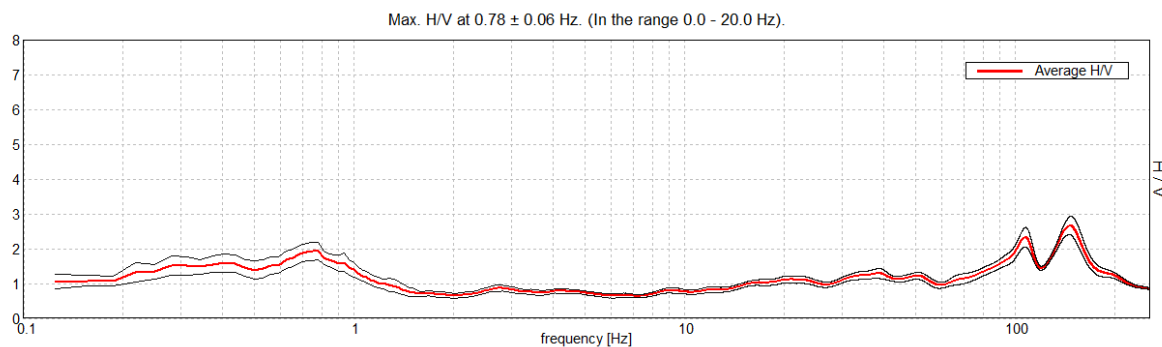
Andamento della curva H/V



Ubicazione

MISURA SISMICA H.V.S.R.

| | |
|--|----------|
| Progressivo | T7 |
| Latitudine WGS84 - 33N | 4943238° |
| Longitudine WGS84 - 33N | 196081° |
| Quota p.c. s.l.m. | 34 m |
| Frequenza di risonanza tra 0,1 e 20,0 Hz | 0.78 Hz |
| Condizione di amplificazione tra 0,1 e 20,0 Hz | si |
| Anno di misura | 2014 |
| Presenza di artefatti | no |



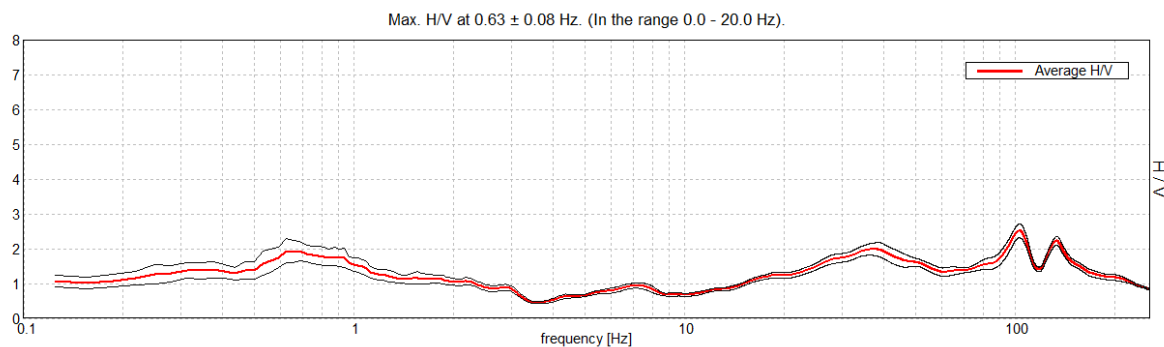
Andamento della curva H/V



Ubicazione

MISURA SISMICA H.V.S.R.

| | |
|--|----------|
| Progressivo | T8 |
| Latitudine WGS84 - 33N | 4946152° |
| Longitudine WGS84 - 33N | 195232° |
| Quota p.c. s.l.m. | 28 m |
| Frequenza di risonanza tra 0,1 e 20,0 Hz | 0.63 Hz |
| Condizione di amplificazione tra 0,1 e 20,0 Hz | si |
| Anno di misura | 2014 |
| Presenza di artefatti | no |



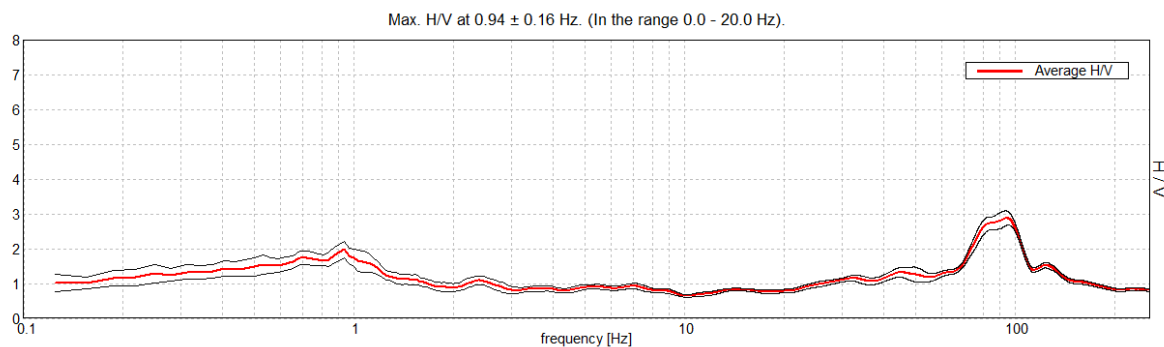
Andamento della curva H/V



Ubicazione

MISURA SISMICA H.V.S.R.

| | |
|--|----------|
| Progressivo | T9 |
| Latitudine WGS84 - 33N | 4944592° |
| Longitudine WGS84 - 33N | 197147° |
| Quota p.c. s.l.m. | 29 m |
| Frequenza di risonanza tra 0,1 e 20,0 Hz | 0.94 Hz |
| Condizione di amplificazione tra 0,1 e 20,0 Hz | si |
| Anno di misura | 2014 |
| Presenza di artefatti | no |



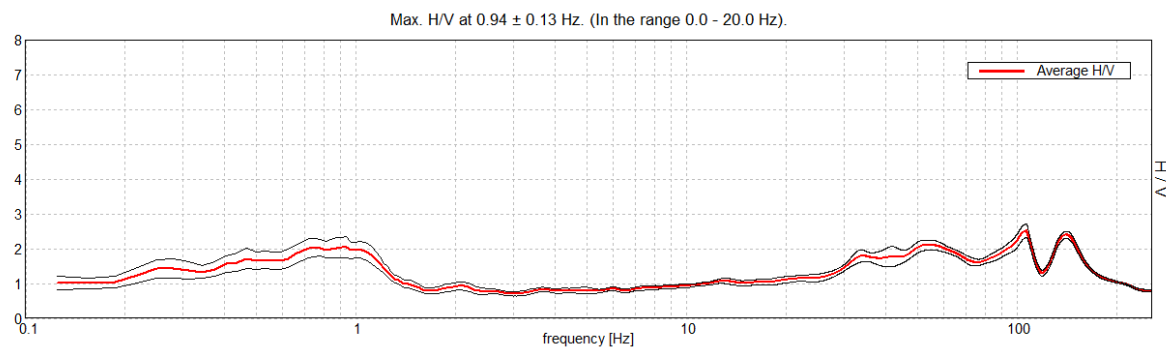
Andamento della curva H/V



Ubicazione

MISURA SISMICA H.V.S.R.

| | |
|--|----------|
| Progressivo | T10 |
| Latitudine WGS84 - 33N | 4950255° |
| Longitudine WGS84 - 33N | 196979° |
| Quota p.c. s.l.m. | 25 m |
| Frequenza di risonanza tra 0,1 e 20,0 Hz | 0.94 Hz |
| Condizione di amplificazione tra 0,1 e 20,0 Hz | si |
| Anno di misura | 2014 |
| Presenza di artefatti | no |



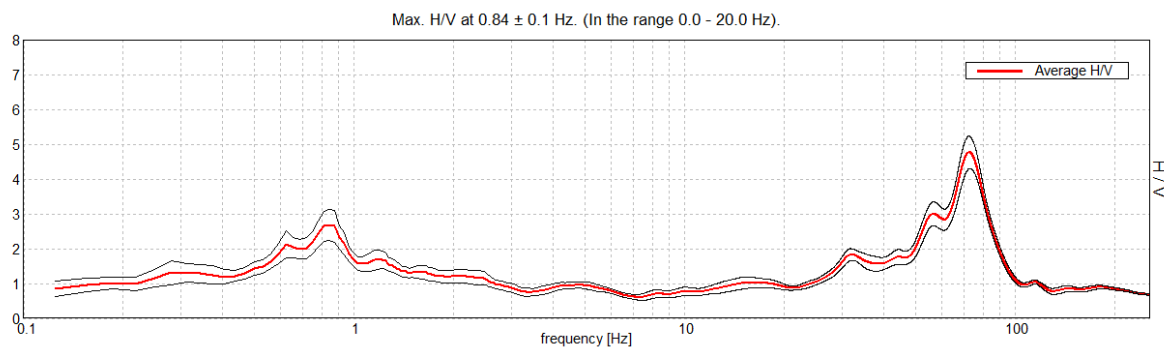
Andamento della curva H/V



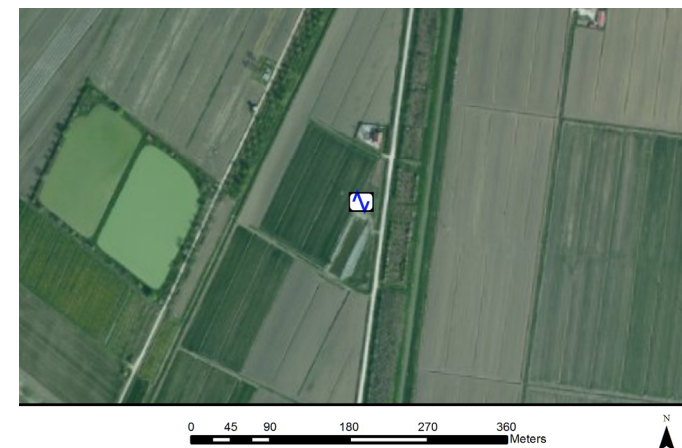
Ubicazione

MISURA SISMICA H.V.S.R.

| | |
|--|----------|
| Progressivo | T11 |
| Latitudine WGS84 - 33N | 4957154° |
| Longitudine WGS84 - 33N | 199161° |
| Quota p.c. s.l.m. | 13 m |
| Frequenza di risonanza tra 0,1 e 20,0 Hz | 0.84 Hz |
| Condizione di amplificazione tra 0,1 e 20,0 Hz | si |
| Anno di misura | 2014 |
| Presenza di artefatti | no |



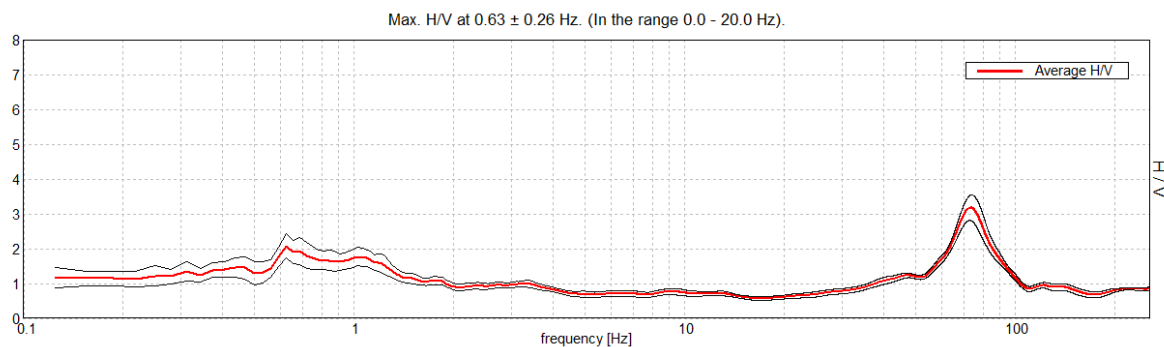
Andamento della curva H/V



Ubicazione

MISURA SISMICA H.V.S.R.

| | |
|--|----------|
| Progressivo | T12 |
| Latitudine WGS84 - 33N | 4956565° |
| Longitudine WGS84 - 33N | 203276° |
| Quota p.c. s.l.m. | 18 m |
| Frequenza di risonanza tra 0,1 e 20,0 Hz | 0.63 Hz |
| Condizione di amplificazione tra 0,1 e 20,0 Hz | si |
| Anno di misura | 2014 |
| Presenza di artefatti | no |



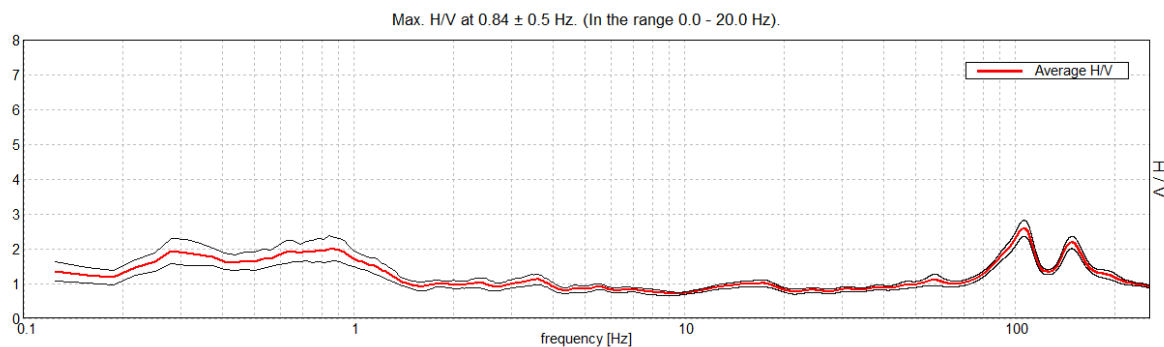
Andamento della curva H/V



Ubicazione

MISURA SISMICA H.V.S.R.

| | |
|--|----------|
| Progressivo | T13 |
| Latitudine WGS84 - 33N | 4953966° |
| Longitudine WGS84 - 33N | 201420° |
| Quota p.c. s.l.m. | 15 m |
| Frequenza di risonanza tra 0,1 e 20,0 Hz | 0.84 Hz |
| Condizione di amplificazione tra 0,1 e 20,0 Hz | si |
| Anno di misura | 2014 |
| Presenza di artefatti | no |



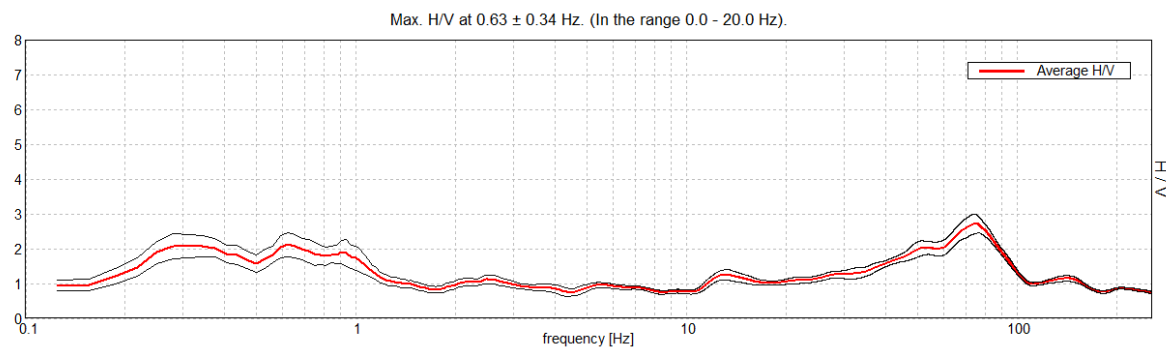
Andamento della curva H/V



Ubicazione

MISURA SISMICA H.V.S.R.

| | |
|--|----------|
| Progressivo | T14 |
| Latitudine WGS84 - 33N | 4951352° |
| Longitudine WGS84 - 33N | 201799° |
| Quota p.c. s.l.m. | 19 m |
| Frequenza di risonanza tra 0,1 e 20,0 Hz | 0.63 Hz |
| Condizione di amplificazione tra 0,1 e 20,0 Hz | si |
| Anno di misura | 2014 |
| Presenza di artefatti | no |



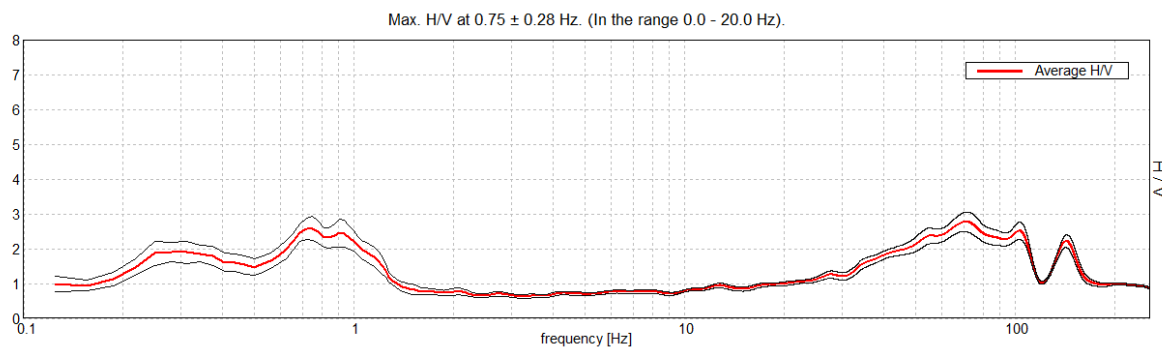
Andamento della curva H/V



Ubicazione

MISURA SISMICA H.V.S.R.

| | |
|--|----------|
| Progressivo | T15 |
| Latitudine WGS84 - 33N | 4950707° |
| Longitudine WGS84 - 33N | 196658° |
| Quota p.c. s.l.m. | 23 m |
| Frequenza di risonanza tra 0,1 e 20,0 Hz | 0.75 Hz |
| Condizione di amplificazione tra 0,1 e 20,0 Hz | si |
| Anno di misura | 2014 |
| Presenza di artefatti | no |



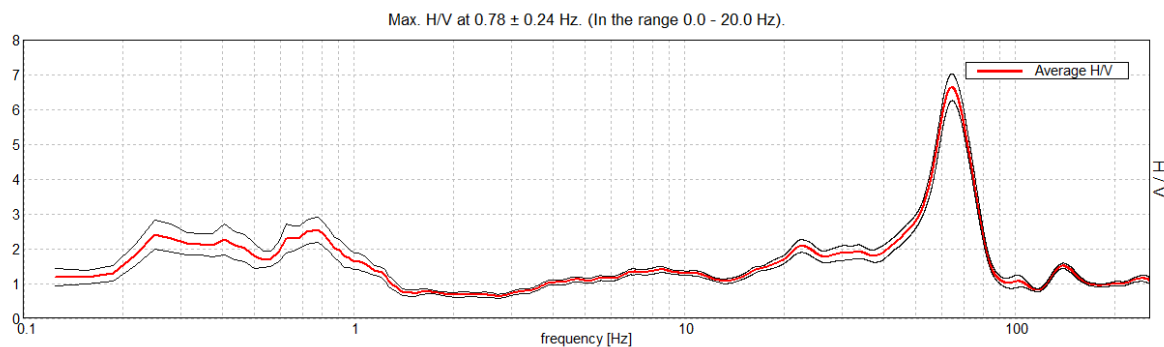
Andamento della curva H/V



Ubicazione

MISURA SISMICA H.V.S.R.

| | |
|--|----------|
| Progressivo | T16 |
| Latitudine WGS84 - 33N | 4949579° |
| Longitudine WGS84 - 33N | 197421° |
| Quota p.c. s.l.m. | 25 m |
| Frequenza di risonanza tra 0,1 e 20,0 Hz | 0.78 Hz |
| Condizione di amplificazione tra 0,1 e 20,0 Hz | si |
| Anno di misura | 2014 |
| Presenza di artefatti | no |



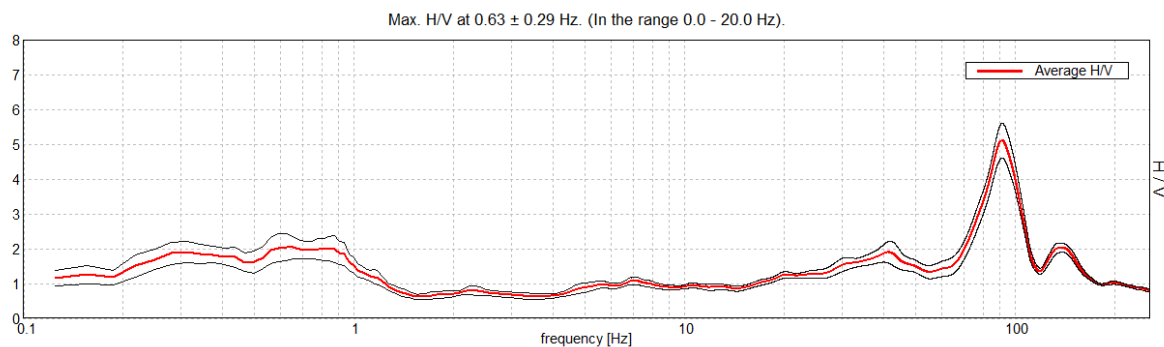
Andamento della curva H/V



Ubicazione

MISURA SISMICA H.V.S.R.

| | |
|--|----------|
| Progressivo | T17 |
| Latitudine WGS84 - 33N | 4948251° |
| Longitudine WGS84 - 33N | 198497° |
| Quota p.c. s.l.m. | 23 m |
| Frequenza di risonanza tra 0,1 e 20,0 Hz | 0.63 Hz |
| Condizione di amplificazione tra 0,1 e 20,0 Hz | si |
| Anno di misura | 2014 |
| Presenza di artefatti | no |



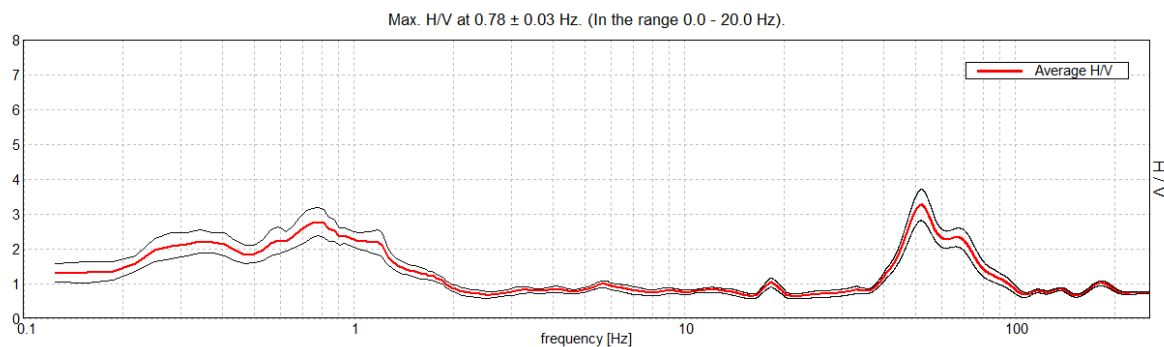
Andamento della curva H/V



Ubicazione

MISURA SISMICA H.V.S.R.

| | |
|--|----------|
| Progressivo | T18 |
| Latitudine WGS84 - 33N | 4947824° |
| Longitudine WGS84 - 33N | 193766° |
| Quota p.c. s.l.m. | 26 m |
| Frequenza di risonanza tra 0,1 e 20,0 Hz | 0.78 Hz |
| Condizione di amplificazione tra 0,1 e 20,0 Hz | si |
| Anno di misura | 2014 |
| Presenza di artefatti | no |

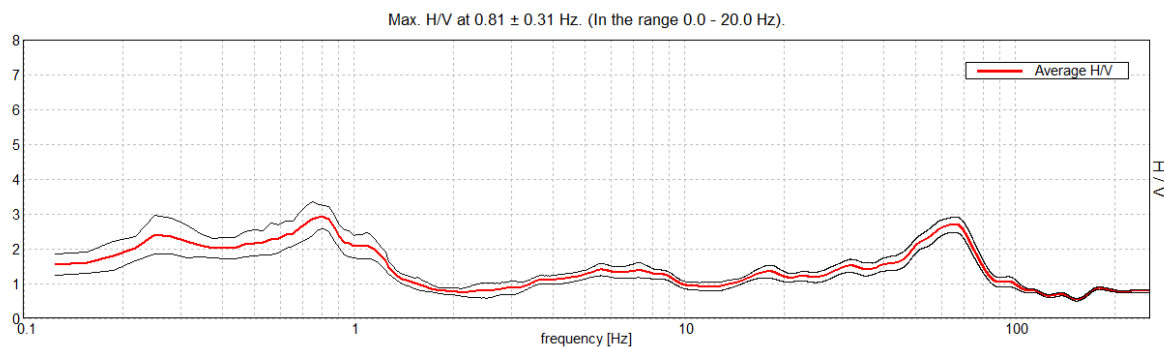


Andamento della curva H/V

Ubicazione

MISURA SISMICA H.V.S.R.

| | |
|--|----------|
| Progressivo | T19 |
| Latitudine WGS84 - 33N | 4954437° |
| Longitudine WGS84 - 33N | 198395° |
| Quota p.c. s.l.m. | 14 m |
| Frequenza di risonanza tra 0,1 e 20,0 Hz | 0.81 Hz |
| Condizione di amplificazione tra 0,1 e 20,0 Hz | si |
| Anno di misura | 2014 |
| Presenza di artefatti | no |



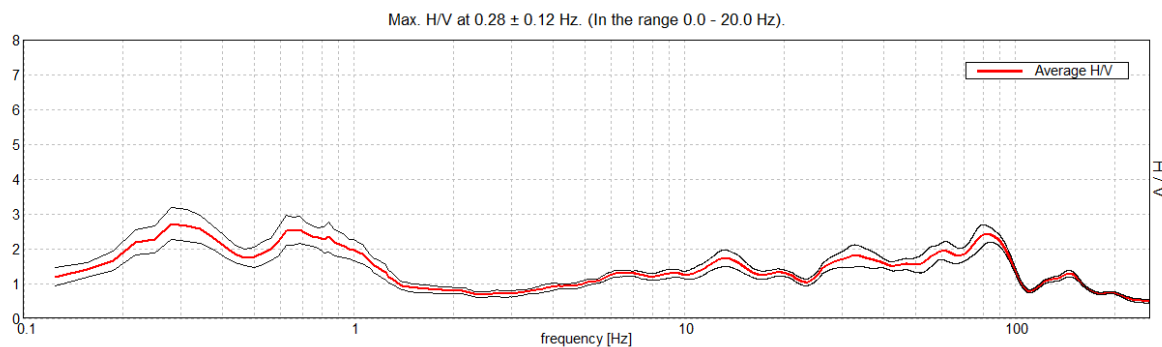
Andamento della curva H/V



Ubicazione

MISURA SISMICA H.V.S.R.

| | |
|--|----------|
| Progressivo | T20 |
| Latitudine WGS84 - 33N | 4948886° |
| Longitudine WGS84 - 33N | 197896° |
| Quota p.c. s.l.m. | 22 m |
| Frequenza di risonanza tra 0,1 e 20,0 Hz | 0.28 Hz |
| Condizione di amplificazione tra 0,1 e 20,0 Hz | si |
| Anno di misura | 2014 |
| Presenza di artefatti | no |



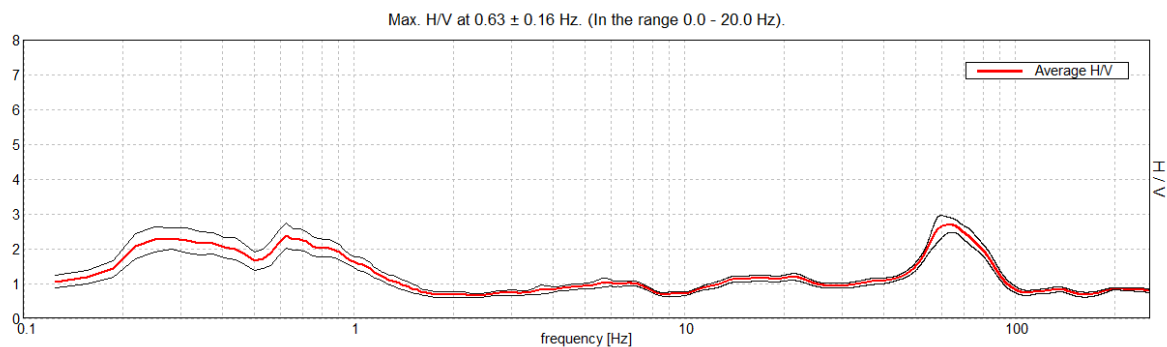
Andamento della curva H/V



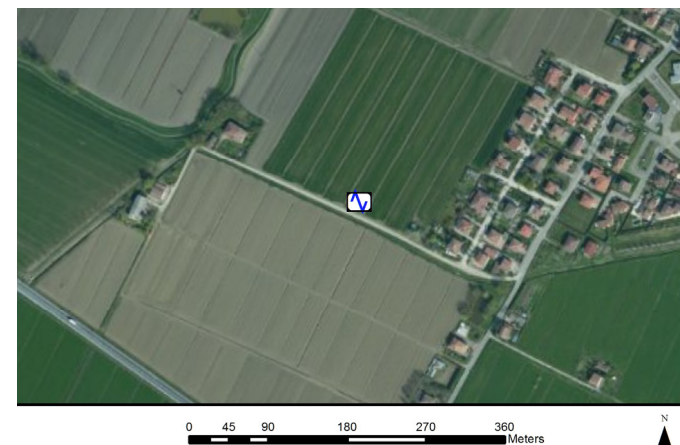
Ubicazione

MISURA SISMICA H.V.S.R.

| | |
|--|----------|
| Progressivo | T21 |
| Latitudine WGS84 - 33N | 4948639° |
| Longitudine WGS84 - 33N | 196604° |
| Quota p.c. s.l.m. | 22 m |
| Frequenza di risonanza tra 0,1 e 20,0 Hz | 0.63 Hz |
| Condizione di amplificazione tra 0,1 e 20,0 Hz | si |
| Anno di misura | 2014 |
| Presenza di artefatti | no |



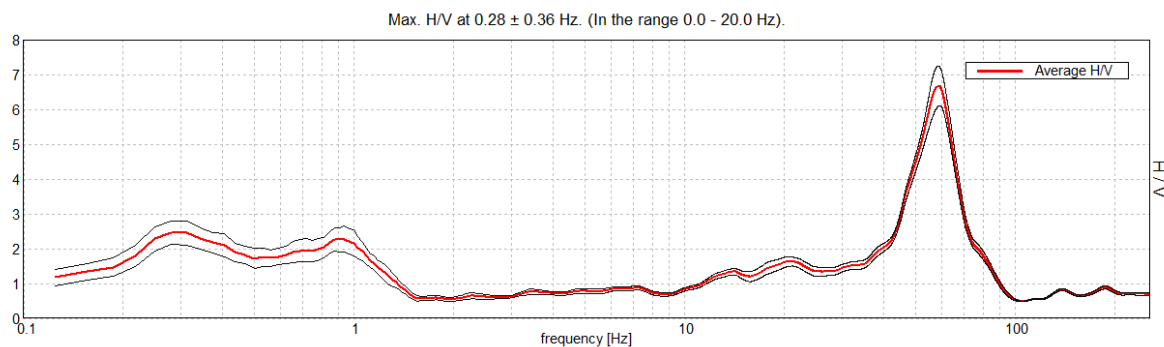
Andamento della curva H/V



Ubicazione

MISURA SISMICA H.V.S.R.

| | |
|--|----------|
| Progressivo | T22 |
| Latitudine WGS84 - 33N | 4949571° |
| Longitudine WGS84 - 33N | 195851° |
| Quota p.c. s.l.m. | 21 m |
| Frequenza di risonanza tra 0,1 e 20,0 Hz | 0.28 Hz |
| Condizione di amplificazione tra 0,1 e 20,0 Hz | si |
| Anno di misura | 2014 |
| Presenza di artefatti | no |



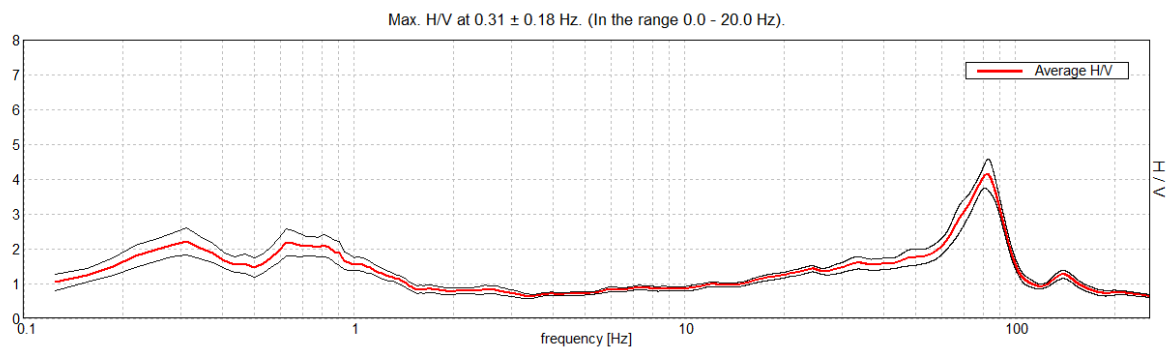
Andamento della curva H/V



Ubicazione

MISURA SISMICA H.V.S.R.

| | |
|--|----------|
| Progressivo | T23 |
| Latitudine WGS84 - 33N | 4949191° |
| Longitudine WGS84 - 33N | 194615° |
| Quota p.c. s.l.m. | 23 m |
| Frequenza di risonanza tra 0,1 e 20,0 Hz | 0.31 Hz |
| Condizione di amplificazione tra 0,1 e 20,0 Hz | si |
| Anno di misura | 2014 |
| Presenza di artefatti | no |

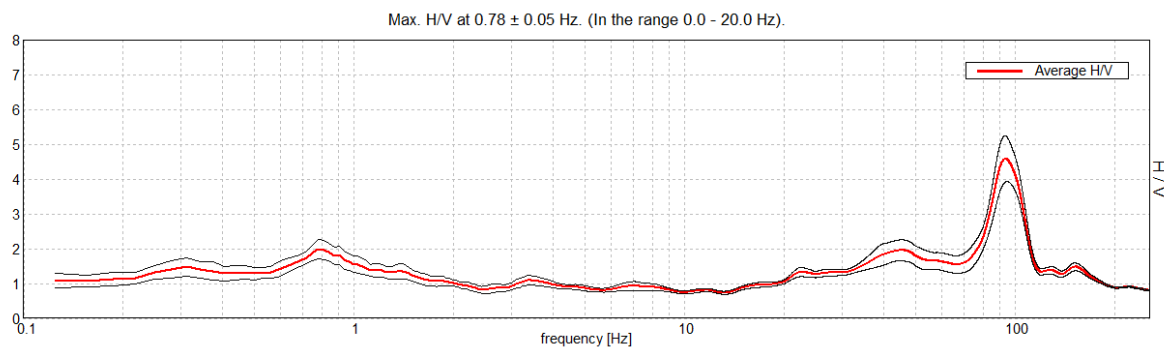


Andamento della curva H/V

Ubicazione

MISURA SISMICA H.V.S.R.

| | |
|--|----------|
| Progressivo | T24 |
| Latitudine WGS84 - 33N | 4944554° |
| Longitudine WGS84 - 33N | 196768° |
| Quota p.c. s.l.m. | 31 m |
| Frequenza di risonanza tra 0,1 e 20,0 Hz | 0.78 Hz |
| Condizione di amplificazione tra 0,1 e 20,0 Hz | si |
| Anno di misura | 2014 |
| Presenza di artefatti | no |



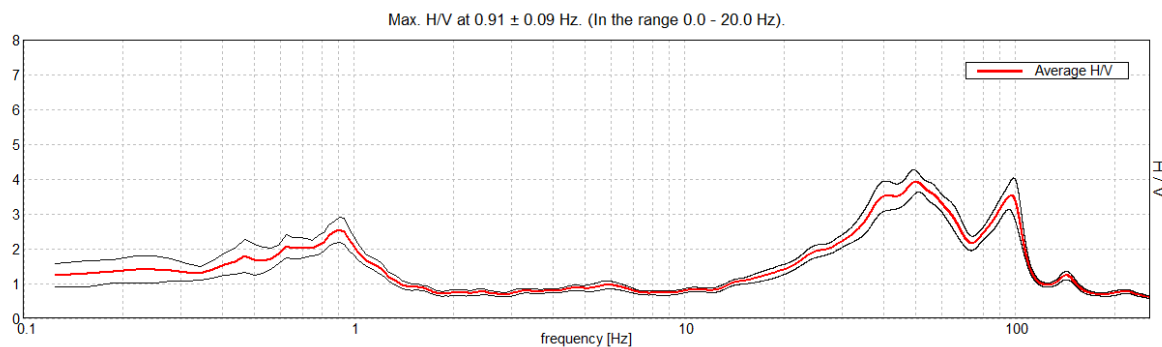
Andamento della curva H/V



Ubicazione

MISURA SISMICA H.V.S.R.

| | |
|--|----------|
| Progressivo | T25 |
| Latitudine WGS84 - 33N | 4952829° |
| Longitudine WGS84 - 33N | 196536° |
| Quota p.c. s.l.m. | 15 m |
| Frequenza di risonanza tra 0,1 e 20,0 Hz | 0.91 Hz |
| Condizione di amplificazione tra 0,1 e 20,0 Hz | si |
| Anno di misura | 2014 |
| Presenza di artefatti | no |



Andamento della curva H/V



Ubicazione